

ФОТОМАГНИТНЫЙ ЭФФЕКТ В УСЛОВИЯХ СПИНОВОГО РЕЗОНАНСА

A.М.Палкин, В.Н.Созинов

В антимониде индия в условиях спинового резонанса обнаружен аналог фотоэлектромагнитного эффекта. Наблюдаемые сигналы фотоэдс имеют аномальную зависимость от направления импульса фотона и направления постоянного магнитного поля относительно кристаллографических направлений. Обсуждаются возможные механизмы возникновения эффекта.

В работах¹ было показано, что в узкозонных полупроводниках без центра инверсии оптические переходы с переворотом спина могут возбуждаться электрическим вектором проходящего через кристалл излучения, причем интенсивность переходов зависит от угла между кристаллографическими направлениями и магнитным полем.

Недавно^{2, 3} было экспериментально и теоретически показано, что коэффициент поглощения при спиновом резонансе зависит от направления импульса фотона относительно осей кристалла и изменяется при обращении магнитного поля. Это связано с интерференцией электро-дипольного и магнитодипольного (ЭДМД) матричных элементов переходов.

В настоящем сообщении приводятся экспериментальные результаты по обнаружению фотомагнитного эффекта при возбуждении оптических переходов с переворотом спина.

Эксперименты проводились при гелиевой температуре в параллельной геометрии Фойгта: $E \parallel H \perp q$, где E и q – поляризация и волновой вектор излучения, H – постоянное магнитное поле (рис. 1, *a*). Источником излучения служил субмиллиметровый лазер с длиной волны $\lambda = 118,8$ мкм. Энергетический зазор между спиновыми подуровнями основного уровня Ландау подстраивался под резонанс изменением магнитного поля. Использовались образцы антимонида индия с параметрами: образец 1 – с концентрацией $n_{77} = 1,3 \cdot 10^{14}$ см⁻³ и подвижностью $\mu_{77} = 8 \cdot 10^5$ см²/В·с, образец 2 – $n_{77} = 1 \cdot 10^{15}$ см⁻³, $\mu_{77} = 4 \cdot 10^5$ см²/В·с. Образцы были ориентированы так, чтобы направление [110] было параллельно магнитному полю, а излучение падало в одном из направлений: [001], [110], [111]. Толщины образцов подбирались таким образом, чтобы $\alpha_{\pm} d < 1$, где α_{\pm} – коэффициент поглощения в резонансе для разных направлений магнитного поля.

На рис. 1, *b* приведены магнитополевые зависимости наблюдаемого эффекта для образца 1 при $q \parallel [110]$. Пик 1 соответствует спиновому резонансу электронов проводимости, пик 2 – примесному переходу. Изменение знака магнитного поля или направления падающего излучения приводит к изменению полярности фотоэдс. Как видно из рис. 1, *b*, для образца 1 абсолютная величина пиков фотоэдс изменяется в 3,3 раза. Измеренные в этих же условиях коэффициент поглощения или сигнал фотопроводимости меняются при изменении направления H или q в 1,9 раза. Измерения фотоэдс, (рис. 2), фотопроводимости и коэффициента поглощения были проведены также на образце 2 в ориентации $q \parallel [110]$. Однако при этом при изменении направлений H или q на противоположные абсолютная величина сигнала фотоэдс изменилась в 1,8 раза, т. е. повторяла поведение коэффициента поглощения. Отметим, что при высоких концентрациях примесей наблюдается только резонанс на свободных электронах. Примесный спиновый резонанс пропадает из-за слияния уровней мелкой примеси с дном зоны проводимости. Аналогичные измерения, проведенные на обоих образцах, в ориентации $q \parallel [001]$, показывают, что при инверсии H или q абсолютные величины сигналов поглощения, фотоэдс и фотопроводимости не меняются. Такое поведение связано с отсутствием ЭДМД интерференции в такой геометрии.

Как видно из наших экспериментов, для образцов с малой концентрацией абсолютная величина наблюдаемого эффекта пропорциональна квадрату коэффициента поглощения. Такая зависимость возможна в случае, когда эффект вызывается неоднородным поглощением излучения в объеме полупроводника при $\alpha_{\pm} d \ll 1$.

Как было показано для циклотронного резонанса ⁴, связанный с градиентом поглощения фотомагнитный эффект возникает за счет различия поперечных коэффициентов диффузии горячих и холодных электронов на нижнем подуровне, причем существенную роль в возникновении эффекта вносят поверхностные диамагнитные токи. Величина такого эффекта будет пропорциональна времени энергетической релаксации τ_e на нижнем подуровне, которое при низких концентрациях примесей связано с остыанием электронов за счет испускания акустических фононов. По-видимому, аналогичная ситуация возникает при спиновом резонансе. После возбуждения в результате квазиупругого рассеяния с переворотом спина на ионизованных примесях или акустических фононах ⁵ горячие носители появляются на нижнем спиновом подуровне. В случае примесного спинового резонанса электроны на нижнем подуровне появляются в результате автоионизации возбужденного примесного уровня.

С увеличением концентрации электронов резко уменьшается время релаксации по энергии на нижнем спиновом подуровне за счет электрон-электронных столкновений в присутствии ионизованных примесей ⁶, и фотомагнитный эффект, пропорциональный τ_e , будет подавлен.

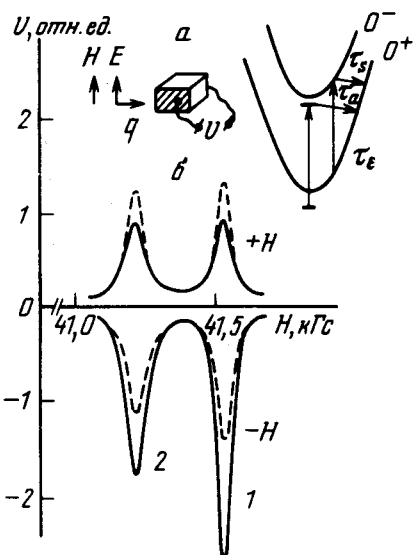


Рис. 1. а – Схема оптических и релаксационных переходов и геометрия эксперимента; τ_s – время спиновой релаксации, τ_a – время автоионизации. б – Магнитополевая зависимость фотоэдс для образца 1 – сплошная линия – $q \parallel [110]$, пунктир – $q \parallel [001]$

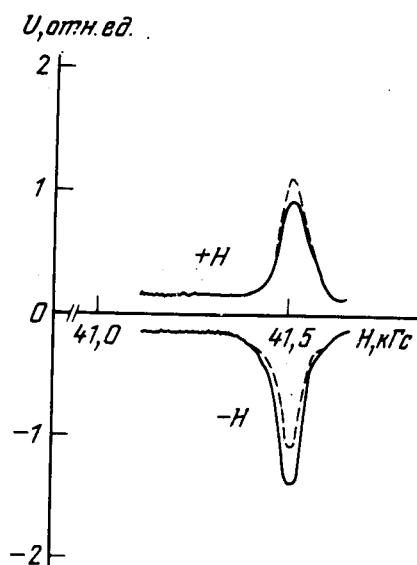


Рис. 2. Магнитополевая зависимость фотоэдс для образца 2: сплошная линия – $q \parallel [110]$, пунктир – $q \parallel [001]$

В то же время в данном эксперименте может проявляться эффект увлечения электронов фотонами. До сих пор этот эффект изучался только в классических магнитных полях ⁷. Феноменологическое выражение для тока увлечения в геометрии нашего эксперимента может быть записано следующим образом: $J_{\text{фм}} = \text{const} \alpha [q \hbar]$, где $\hbar q$ – импульс фотона, \hbar – единичный вектор вдоль магнитного поля. В случае тонких образцов эффект пропорционален коэффициенту поглощения. Полученные нами экспериментальные данные для образцов с большой концентрацией позволяют говорить об обнаружении фотомагнитного эффекта увлечения в квантующем магнитном поле. В пользу такого объяснения говорят те факты, что эффект нечетен по направлению импульса фотона и поляризационная зависимость эффекта определяется поляризационной зависимостью коэффициента поглощения, что позволяет экспериментально отделить его от возможного фотогальванического эффекта в полупроводниках без центра инверсии, к которым принадлежит InSb.

Для более детального анализа экспериментальных результатов требуется теоретическое рассмотрение эффектов.

В заключение авторы выражают благодарность Л.И.Магариллу и М.В.Энтину за полезные обсуждения.

Литература

1. Раиба Э.И., Шека В.И. ФТТ, 1961, 3, 1735, 1863.
2. Chen Y.F., Dobrovolska M., Furdyna J.K., Rodriguez S. Phys. Rev. B, 1985, 32, 890.
3. Шека В.И., Хазан Л.С. Письма в ЖЭТФ, 1985, 68, 1377.
4. Магарилл Л.И., Палкин А.М., Созинов В.Н., Энтин М.В. III Международное совещание по фотоэлектрическим и оптическим явлениям в твердых телах. Тезисы докладов, Варна, 1986, 59.
5. Маргулис А.Д., Маргулис В.А. ФТТ, 28, 1452.
6. Коган Ш.М., Шадрин В.Д., Шульман А.Я. ЖЭТФ, 1975, 68, 1377.
7. Рывкин С.М., Ярошецкий И.Д. Сб. Проблемы современной физики, 1980, Ленинград, Наука, 173.

Институт физики полупроводников
Академии наук СССР СО

Поступила в редакцию
1 августа 1987 г.